

CMAC 를 이용한 하이드로 포밍 공정의 압력제어기 설계
(A CMAC-BASED PRESSURE TRACKING CONTROLLER DESIGN
FOR HYDROFORMING PROCESS)

○ 이 우호* 박 회재* 조 형석* 현 봉섭**
(W. H. Lee, H. J. Park, H. S. Cho, B. S. Hyun)

* 한국과학기술원 생산공학과 (KAIST, Dept. of Prod. Eng.)
** 한국과학기술연구원 기계공학부 (KIST, Mech. Eng.)

ABSTRACT A pressure tracking control of hydroforming process is considered in this paper. To account for nonlinearities and uncertainties of the process, an iterative learning control scheme is proposed using Cerebellar Model Arithmetic Computer (CMAC). The experimental result shows that the proposed learning control is superior to any fixed gain controller in the sense that it enables the system to do the same work more effectively as the number of operation increases.

1. 서 례

본 연구에서는 박판 소재의 점교환 성형가공에 사용되는 하이드로 포밍기의 성형설의 압력제어기를 CMAC 를 이용하여 설계하고자 한다. 하이드로 포밍공정은 정교한 박판 성형품을 제작하기 위하여, 다이 캐비티 (die cavity) 없이 성형설에 유체 압력을 가한 상태에서 펜치 (punch)로 박판을 밀어 올림으로써 성형을 진행한다. 디일 드로잉 (deep drawing) 과 비교해 볼 때, 성형품의 두께가 균일하고 펜치의 코너에 흔히 발생하는 결함이 없으므로, 복잡한 형상의 성형도 단일 공정에 수행할 수 있다. 그밖에도 공구의 마모가 적고, 다이 캐비티를 제작할 필요가 없는 장점이 있다. 이 공정 중 성형설의 압력을 최종 성형품의 품질을 좌우하는 중요한 변수 중에 하나이다. 성형설의 압력에 따라 두 가지의 결함이 발생할 수 있다. 만일 성형설에 과다한 압력이 가해지면 성형중에 찢겨짐 (Tearing) 이 발생할 수 있고, 너무 작으면 주름 (Wrinkling) 이 생긴다. 이러한 양쪽의 결함을 없애기 위하여 소성역학의 상계해법 (Upper Bound Analysis) 을 적용하여 펜치의 범위에 대응되는 압력 경로를 찾는 해석적인 방법이 유도되었다. [2]

하이드로 포밍기는 Fig. 1 과 같이 크게 펜치 구동부와 성형설 가압부로 나눌 수 있다. 펜치의 구동은 정속 구동으로 유량 제어 밸브에 의해 펜치 구동 실린더를 제어하고, 성형설 가압은 전기유압식 압력제어 밸브와 부우스터 (Booster, intensifier) 에 의해 제어된다.

본 연구는 펜치 구동부와 성형설 가압부를 독립시키고, 주로 성형설 가압부의 압력제어를 다룬겠으며, 이때 펜치구동부에 의한 펜치의 상승을 성형설 압력제어의 외란 (disturbance) 으로 본다. 성형설의 압력제어는 본질적으로 넓은 범위의 압력을 추출해야 하므로 그 작동점이 상당히 넓은 영역에 분포한다. 그러므로 유압요소 특유의 오리피스의 비선형성, 각 포켓 밸브들의 개구량의 포화, 운동체의 마찰력과 같은 여러 비선형성을 예상해 볼 수 있다. 따라서, 하이드로 포밍기의 압력제어기를 설계하는데 있어 일반적으로 사용되고 있는 선형화기법에 의한 기준설계는 상당히 무리가 있다. 또한 일반 PID 제어기는 그 부수有不少 과정이 어렵고 작업조건이 바뀌면서 일정한 성능을 기대하기 어렵다. 위에 열거한 바와 같은 문제점을 해결하기 위하여, 본 연구에서는 CMAC (Cerebellar Model Arithmetic Computer) 를 이용한 반복 학습 제어기

(Iterative learning controller) 를 이용, 하이드로 포밍기의 성형설의 압력 제어기를 설계하고자 한다. 하이드로 포밍기는 대량생산용 기계이므로 이러한 학습제어기와 같은 점진적 향상을 추구하는 제어기를 사용하는 것이 합당할 것이다. 원래 CMAC 는 Albus [3], [4] 에 의해서 처음 주장되었는데, 근본적으로 공유 메모리 (Association memory) 를 이용하여, 시스템의 입출력 관계를 표현할 수 있는 신경구조의 연산 계산기 (Cerebellar Model Arithmetic Computer) 이다. 이 계산기는 가지 (known) 의 입출력 자료를 근거로 각 메모리의 가중치를 변화시키는 점진적 교육 (training) 에 의해 공유 메모리 구조로 시스템을 표현하는 블랙 박스 (Black Box) 기법이다. 본 연구에서는 CMAC 원용 학습제어기를 설계함에 앞서 하이드로 포밍기의 수학적 모델링을 통하여 전산기 시뮬레이션으로 CMAC 제어기의 수렴성 조사를 진행하였다. 이 시뮬레이션을 근거로 설계된 CMAC 제어기의 효용성을 실험을 통하여 확인하였다.

2. 서현실 가압부의 구조

성형설 가압부는 펌프, 부우스터, 전기 비례형 압력 제어 밸브 (Proportional relief valve), 성형설 (forming chamber) 로 구성된다. 펌프에서 공급된 유량은 전기 비례형 압력 제어 밸브에 의해 유량을 조절되어 진다. 이 소실되는 유량을 제어함으로써 부우스터 1 차축에 형성되는 압력의 크기를 조절할 수 있게 된다. 부우스터 2 차축의 압력 주도 성형설의 압력을 부우스터 1 차축의 압력에 의한 힘과 평형을 이루는 압력이 될 때까지 증가함으로써, 1차축 압력과는 부우스터 피스톤의 면적비에 해당하는 비율의 압력을 형성한다.

3. 소하저 모델리

하이드로 포밍기를 유량 방정식, 인속 방정식, 그리고 운동 방정식에 의하여 모델링하였다.

3.1 가정

수학적 모델링 시스템을 단순화하기 위하여 중요하지 않은 인자를 무시하고 다음과 같은 가정을 하였다.
i) 유체의 물성지는 온도와 압력에 영향을 받지 않는다.
ii) 도관이 충분히 커서 유체의 손실이 없다.

- iii) 각 유압부품이나 도관을 유체와 비교하여 강제로 본다.
 iv) 각 오리피스 (orifice)를 유체의 흐르는 속도가 상당히 커서 난류 유동으로 본다.

3.2 유량 방정식

전기 바레형 압력 제어 밸브에 사용된 오리피스에서의 압력차 (Pressure difference, ΔP)에 대한 유량 (Q)의 관계를 구하였다.

각별형 주 오리피스 (Main orifice)
 각별형 주 오리피스는 Fig.2 와 같이 구성되어 있으며, 이 오리피스를 통과하여 탱크로 귀환하는 유량 Q_m 은 다음 식에 의해 구할 수 있다.

$$Q_m = C_m A_{me} \sqrt{2/\rho (P_m - P_t)} \quad (1)$$

여기서, C_m 은 주 오리피스의 유량계수, A_{me} 는 밸브의 개구 면적, ρ 는 작동유의 밀도, P_m 은 주 압력 (Main pressure), P_t 는 탱크 압력 (Tank pressure)이다.

(1) 식에서 오리피스의 개구 면적은 다음 식으로 표시된다.

$$A_{me} = \pi d_m \sin \alpha \cdot y \quad (2)$$

여기서, d_m 은 포켓의 평균지름, α 는 포켓 각도, y 는 포켓의 주직 변위이다. 포켓 형태의 오리피스에 대한 유량계수는 Takenaka [8]의 결과로 부터 구하였다.

파일럿 오리피스 (Pilot orifice)

파일럿 오리피스는 주 챔버 (Main chamber)와 파일럿 챔버를 연결하는 모세관 형태의 뷔브 (Tube) 모양으로 이 오리피스를 통과하는 유량 Q_p 는 다음 식에 의해 구할 수 있다.

$$Q_p = C_p A_p \sqrt{2/\rho (P_m - P_p)} \quad (3)$$

여기서, C_p 는 파일럿 오리피스의 유량계수, A_p 는 파일럿 오리피스의 단면적, P_p 는 파일럿 챔버 (Pilot chamber)의 압력이다.

파일럿 오리피스의 단면적은 다음과 같다.

$$A_p = \pi/4 d_p^2 \quad (4)$$

여기서, d_p 는 파일럿 오리피스의 지름이다. 파일럿 오리피스와 같은 short tube orifice에 대한 유량계수는 Merrit(1967) [7]에 의해 구하였다.

상부 오리피스 (Upstream orifice)

상부 오리피스는 파일럿 챔버와 상부 챔버 사이에 위치해 있으며 이 오리피스를 흐르는 유량 Q_u 는 다음과 같다.

$$Q_u = C_u A_u \sqrt{2/\rho (P_p - P_u)} \quad (5)$$

여기서, C_u 는 상부 오리피스의 유량계수, A_u 는 상부 오리피스의 단면적, P_u 는 상부 챔버의 압력이다.

포켓 오리피스 (Poppet orifice)

Fig.2 와 같이 포켓 오리피스를 흐르는 유량 Q_f 은 오리피스 양단의 압력차와 포켓 피스톤 변위에 의해 결정된다.

$$Q_f = C_f A_{re} \sqrt{2/\rho (P_u - P_d)} \quad (6)$$

여기서, C_f 은 포켓 오리피스의 유량계수, A_{re} 는 포켓 오리피스의 개구 면적, P_d 는 하부 챔버의 압력이다. 주 챔버에서와 같이 포켓 오리피스의 개구면적도 다음과 같이 구할 수 있다.

$$A_{re} = \pi d_r \sin \gamma \cdot z \quad (7)$$

여기서, d_r 은 포켓의 평균 지름, γ 은 포켓 각도, z 는 포켓의 수평 변위이다.

하부 오리피스 (Downstream orifice)

하부 오리피스는 하부 챔버 (Downstream chamber)와 탱크 사이에 위치해 있으며, 이 오리피스를 통과하는 유량 Q_d 는 다음식에서 구하였다.

$$Q_d = C_d A_d \sqrt{2/\rho (P_d - P_t)} \quad (8)$$

여기서, C_d 는 하부 오리피스의 유량계수, A_d 는 하부 오리피스의 단면적이다.

3.3 연속 방정식

작동유의 압축성을 고려하면 각 챔버 안의 압력을 각 챔버 안으로 흘러 들어오는 유량과 빠져나가는 유량으로 부터 구하여 진다.

주 챔버 (Main chamber)

주 챔버는 전기 바레형 압력 비례 제어 밸브의 일부분과 부우스터의 일차측과 도관으로 이루어졌다. 이 챔버의 연속 방정식은 다음식과 같다.

$$\dot{P}_m = -\frac{\beta}{V_m} [Q_s - Q_m - Q_p - A_m \dot{y} - A_1 \dot{w}] \quad (9)$$

여기서, \dot{P}_m 은 주압력의 변화율 (Main pressure change rate), β 는 작동유의 체적 탄성계수 (Bulk modulus), V_m 은 주 챔버의 총 체적, Q_s 는 펌프 토출 유량, \dot{y} 은 주 포켓의 속도, A_1 은 부우스터 피스톤 일차측의 단면적, \dot{w} 은 부우스터 피스톤의 속도이다.

파일럿 챔버 (Pilot chamber)

파일럿 챔버는 파일럿 오리피스와 상부 오리피스 사이에 위치하고 있다. 파일럿 챔버에서의 연속 방정식은 다음식에 의해 구하여 진다.

$$\dot{P}_p = -\frac{\beta}{V_p} [Q_p - Q_u + A_m \dot{y}] \quad (10)$$

여기서, \dot{P}_p 는 파일럿 챔버의 압력변화율, V_p 는 파일럿 챔버의 체적이다.

상부 챔버 (Upstream chamber)

상부 챔버의 연속 방정식은 다음과 같이 표시된다.

$$\dot{P}_u = -\frac{\beta}{V_u} [Q_u - Q_f] \quad (11)$$

여기서, \dot{P}_u 는 상부 챔버의 압력변화율, V_u 는 상부 챔버의 체적이다.

하부 챔버 (Downstream chamber)

하부 챔버에서의 연속 방정식은 다음과 같다.

$$\dot{P}_d = -\frac{\beta}{V_d} [Q_f - Q_d] \quad (12)$$

여기서, \dot{P}_d 는 하부 챔버의 압력변화율, V_d 는 하부 챔버의 체적이다.

성형실 (Forming chamber)

성형실의 총체적은 부우스터의 2차측과 성형실, 그리고 2부분을 연결하는 도관으로 구성되어 있다. 성형실에서의 연속방정식은 다음과 같이 나타낼 수 있다.

$$\dot{P}_f = -\frac{\beta}{V_f} [A_f(x_p) \dot{x}_p + A_2 \dot{w}] \quad (13)$$

여기서, \dot{P}_f 는 성형실 압력의 변화율, V_f 는 성형실의 체적, $A_f(x_p)$ 는 펜치의 단면적, \dot{x}_p 는 펜치의 상승속도, A_2 는 부우스터 2차측의 단면적이다.

편지가 성형실로 전진할 때 따라 성형실의 체적의 변화는 다음과 같다.

$$V_{f(t)} = V_{f0} - \int_0^{T_f} A_t(x_p) dt \quad (14)$$

여기서, V_{f0} 는 성형실의 초기 체적, T_f 는 가공 공정 시간이다.

3.4 운동 방정식

주 피스톤 (Main piston)

전기 비례형 압력 제어 밸브의 주 피스톤 운동 방정식은 다음과 같다. 외력으로는 스프링력, 유체 압력 등이 작용한다.

$$M_m \ddot{y} + B_m \dot{y} + K_m y = A_{m1} P_m - A_{m2} P_p - F_0 \quad (15)$$

여기서, M_m 은 주 포켓 피스톤의 질량, B_m 은 포켓 피스톤의 감쇄계수, K_m 은 스프링 상수, F_0 는 스프링의 초기 압축력, A_{m1} , A_{m2} 는 주 피스톤 상하면의 단면적이다.

포켓 (Poppet)

포켓 피스톤에는 유체압력, 자기력, 유통력을 등이 작용한다. 이 포켓에서의 운동 방정식은 다음과 같다.

$$M_p \ddot{z} + B_p \dot{z} = K_i i - (P_u - P_d) A_r - K_f (P_u - P_d) z \quad (16)$$

여기서, M_p 는 포켓 피스톤의 질량, B_p 는 포켓 피스톤에서의 감쇄계수, K_i 는 전자기력 상수, K_f 는 유통력 상수, z 는 포켓 피스톤의 단위이다.

부우스터 (Booster)

Fig.3 과 같이 부우스터는 단면적이 다른 부우스터 피스톤의 힘 평형을 이용하여 1차축의 저압으로 2차축의 고압을 형성시키는 역할을 한다. 그 운동 방정식은 다음과 같다.

$$M_b \ddot{w} + B_b \dot{w} = A_1 P_m - A_2 P_f - P_t \quad (17)$$

여기서, M_b 는 부우스터 피스톤의 질량, B_b 는 감쇄계수, w 는 부우스터 피스톤의 단위, P_t 는 부우스터 피스톤과 실린더의 마찰력이다.

4. CMAC 원용 학습 제어기 설계

CMAC (Cerebellar Model Arithmetic Computer)는 시스템의 입출력 특성으로부터 시스템의 특성을 공유 메모리 (associate memory) 를 사용한 맵핑 (mapping) 관계로 표현하는 일종의 Table look up technique이다. 이 메모리가 시스템의 거동을 잘 표현할 수 있도록 점진적으로 교습 (training) 시켜서, 이 메모리 값을 이용하여 추종제어에 이용한다.

4.1 역 모델

피드 포워드 제어방법으로 주어진 경로를 추종하도록 하기 위해서는 원하는 출력에 해당하는 출력을 발생시켜야 한다. 이러한 출력을 적절한 입력을 발생시켜야 한다. 이러한 출력을 발생시키기 위해서는 대상 시스템의 역모델 (inverse model) 을 구하면 쉽게 얻을 수 있다. 성형실의 압력을 원하는 바로 추종할 수 있는 입력을 선정하는 방법으로 CMAC 테크닉을 사용한다. 즉 하이드로 포밍기의 역모델을 CMAC 메모리에 테이블화하고 이 테이블에 의해 입력을 구한다. [5], [6] 하이드로 포밍기의 역모델은 다음식으로 표현된다.

$$u(k) = g(\underline{P}_{f(k)}) \quad (18)$$

여기서, $u(k)$ 는 이산 제어 입력, $\underline{P}_{f(k)}$ 는 n 차의 성형실의 압력 벡터 $\{P_{f(k+1)}, \dots, \underline{P}_{f(k+1)}, \underline{P}_{f(k)}\}$, g 는 $u(k)$ 와 $\underline{P}_{f(k)}$ 에 관계된 비선형 함수이다. 여기서 시스템의 역 모델을 표현하는 함수는 CMAC 메모리를 교습함에 의해 테이블 형식으로 구해진다.

4.2 CMAC 메모리 시스템

메모리 시스템이 Table look-up 방식으로 제어 시스템에 적용할 때, 기존의 메모리 시스템의 결점은 각 어드레스 (address) 간의 1 대 1 맵핑에 의존하므로 메모리 어드레스 양이 많이 요구되고 경험에 의한 각 메모리간의 정보의 전달이 없었다. 이에 반하여 CMAC 메모리 시스템은 공유 메모리에 의해 메모리의 양을 줄일뿐만 아니라 보간 (interpolation)에 의한 일반화 (generalization) 가능해진다. CMAC 모듈 (module)에서 각각의 이산 (discretize) 된 압력 상태 벡터 (pressure state vector) \underline{P}_f 의 인접 메모리로의 맵핑과 각 \underline{P}_f 에 대한 메모리 장소의 가중치 (weighting)의 합에 의해 $g(\underline{P}_f)$ 함수가 구해지는 형태가 Fig.4에 나타나 있다. 각 \underline{P}_f 에 대한 메모리 장소의 가중치는 0의 값 ('0' 또는 '1')에 의해 결정된다. CMAC 출력은 다음식에 의해 구해진다.

$$g(\underline{P}_f) = \sum_{i=1}^N a_i w_i \quad (19)$$

여기서, $a_i = 1$ 또는 0 이다.

4.3 교습 방법 (Training Rule)

각 작업이 끝날 때마다 CMAC 메모리는 다음과 같이 교습 된다. 전 작업시의 성형압력 데이터를 사용, 직 (19)로부터 CMAC 메모리에 의해 얻은 출력 $g(\underline{P}_f)$ 와 전 작업시의 실제 $u(k)$ 를 비교한다. 만약 CMAC 메모리가 잘 교습되어 있으면 $g(\underline{P}_f)$ 와 $u(k)$ 는 같게 된다. 예라가 생기게 되면 예라가 발생한 영역에 해당되는 메모리를 다음식과 같이 교습한다.

$$w_{i(j+1)} = w_{i(j)} + \Delta w \quad (20)$$

여기서, j 는 작업 횟수, i 는 메모리의 어드레스이다.

$$\Delta w = k_c \frac{u(k) - g(\underline{P}_{f(k)})}{C} \quad (21)$$

여기서, C 는 인접 메모리수, k_c 는 학습 계인이다.

4.4 CMAC 원용 학습제어기 (CMAC Based learning Controller)

CMAC 모듈은 다음과 같이 제어에 적용된다. Fig.5에 나타난 바와 같이 원하는 압력 Trajectory P_d 가 Trajectory Planner에 의해 계산되며 CMAC 제어기는 피드 포워드 제어기로 구성된다. 메모리가 교습되자마자 어느 정도의 제어성능을 위하여 피드백 부우프로 세래의 제어기를 구성하였다.

5. 시뮬레이션

3장에서 유도한 하이드로 포밍기의 저배 방정식들을 Runge-Kutta 방법에 의하여 전산기 시뮬레이션하였다. 이때 전체 저배방정식은 비선형 11차 미분 방정식이 되며, 각 매개변수 값들은 전행편 연구와 실험을 통하여 Table.1과 같이 정했다. 실험이나 측정에 의하여 정하기 어려운 감쇄계수와 유량계수는 전체 Open loop 특성을 비교하면서 맞구어 나갔다. 이러한 방법으로 완성된 시뮬레이션 모델을 실제 대상 시스템으로 보고 4장에서 설명한 CMAC 원용 학습제어기를 설계하였다. 본 연구에서는 2개의 압력 state $\{P_{f(k+1)}, \underline{P}_{f(k)}\}$ 를 사용하였다. 전산기 용량의 제한을 받으므로, 분해能把 2 bar로 하여 최대 압력범위 0 ~ 700 bar를 350 등분하였다.

추종 오자의 수렴성을 고찰하기 위하여

$$\text{작분자승오차 (ISE)} = \int_0^t (P_{d(t)} - P_{f(t)})^2 dt$$

를 구하여 비교하였다. 학습 제어기는 기본적으로 직원보상형태로 제어되므로, 비례제어기를 도입하여 Fig.5와 같이 피아드 백 제어기를 구성하였다.

학습개인(k_c)을 0.5로 고정시키고 공유 메모리(C) 수를 20, 30, 40으로 변화시켜면서 각각 10번의 반복 시뮬레이션을 하였다. Fig.8에 공유 메모리수의 변화에 따른 ISE 값의 경향을 나타내었다. 공유메모리수가 증가하게 됨에 따라 초기에는 ISE 값의 수렴속도가 빨라지나, 공유메모리수가 40인 경우에는 반복횟수가 증가할수록 ISE 값이 발산하려는 경향을 보이는 것을 알 수 있었다. 이 시뮬레이션 결과 공유 메모리의 증가, 즉 일반화의 증가에 따른 시간에 의한 교습되어지는 메모리가 많아지게 됨에 따라 수렴속도가 빨라지는 경향을 보였으나, 무정확한 정보에 의해 교습에 의해 작업횟수가 증가하면서 재어기의 성능이 악화되는 단점이 생기는 것을 알 수 있다.

6. 실험

6.1 실험 장치

하이드로 포밍기와 컴퓨터 (IBM PC-XT) 와의 인터페이스 구성을 Fig.7과 같다. 각 시뮬레이션 제어와 CMAC 원용 학습제어는 Data acquisition system을 이용하여 입출력 시켰다.

6.2 실험 조건

본 실험에서는 샘플링 시간을 17msec으로 하고 펜치 구동 속도를 0.3cm/sec로 조절하여 충성형시간을 6초로 정하였다. 시뮬레이션에서 선정한 k_c (0.5)와 C(30)값을 사용하여 직접 실린더형 가공풀을 설정하는 경우에 적용하였다. 가공한 성형품의 모양은 Fig.6과 같으며, 시판의 세로는 강(steel)을 사용하였다.

6.3 실험 결과

실험 결과 CMAC 원용 학습제어기가 넓은 범위의 압력구간을 추종하는데 있어서, 작업횟수가 증가하게 됨에 따라 Fig.9와 같이 만족할 만한 성능을 보이는 것을 알 수 있었다. 전체 시간 구간에 걸쳐 추종 성능이 우수하게 나타났으며, 5회 정도의 반복 작업 후 부터는 작분자승오차 (ISE) 가 더 이상 감소하지 않고 진동하는 경향이 Fig.10에 나타나 있다. ISE 값이 더 이상 감소하지 않는 이유는 각 작업마다의 초기 상태 및 작업조건의 변화, CMAC 제어기 설계의 미흡함 때문으로 여겨진다.

7. 결론

본 연구에서는 막판을 정밀성형하는 하이드로 포밍기의 압력제어에 대하여 시뮬레이션 및 실험하였다. 하이드로 포밍기의 비선형성, 넓은 범위의 압력구간을 제어하기 위하여 CMAC 원용 학습제어기가 제안되었다. 펜치의 전진에 의한 외관, 시스템의 비선형성에도 불구하고 추종 성능이 우수한 결과를 얻었으며, 또한 작업횟수가 증가하게 됨에 따라 추종 성능이 좋아지는 결과를 얻었다. ISE 값의 수렴속도의 증가, 그리고 보다 우수한 추종제어 성능을 나타낼 수 있는 CMAC 원용 학습제어기를 설계하기 위해 시뮬레이션 결과를 바탕으로 하여 압력제어기의 제어방식을 고려하였다.

8. 참고 문헌

- Park, H.J., Cho, H.S., Yang, D.Y., and Hyun, B.S. (1987). A Pressure tracking controller for Hydroforming process. 87' KACC, Vol.2, pp.317-323.
- Noh, T.S., and Yang, D.Y., (1987). An Analysis of Hydroforming of Regular Polygonal Boxes. Int. Journal of Mech. Sci., Vol.29, pp. 139-148.
- Albus, J.S. (1975), A New Approach to Manipulator Control: The Cerebellar Model Articulation Controller (CMAC). Trans. ASME, J. of Dynamic Syst. Meas., Cont., Vol. 97 pp.220-227.
- Albus, J.S. (1975), Data Storage in the Cerebellar Model Articulation controller (CMAC). Trans. ASME, J. of Dynamic Syst. Meas., Cont., Vol. 97 pp. 228-233.
- Ersu, E. and Tolue, H. (1984). A new concept for learning control inspired by brain theory. IFAC '84 9th World Congress, Vol.7 pp.245-250.
- Miller, W.T. (1987). Sensor based control of robotic manipulators using a general learning algorithm. IEEE J of Robotics and Automation, Vol.RA-3 No.2, pp.157-165.
- Merritt, H.E. (1967). Hydraulic Control System, Wiley, New York
- Takenaka, T. and Urata, E. (1968). Static and Dynamic characteristics of Oil-Hydraulic Control Valves. The 1968 Fluid Power International Conference, Tokyo, Japan, May, pp.67-74.
- Choi, K.J. (1987). A study on the parameter identification and dynamic characteristics of the Electro-magnetic relief valves. M.S. Thesis, KAIST, July

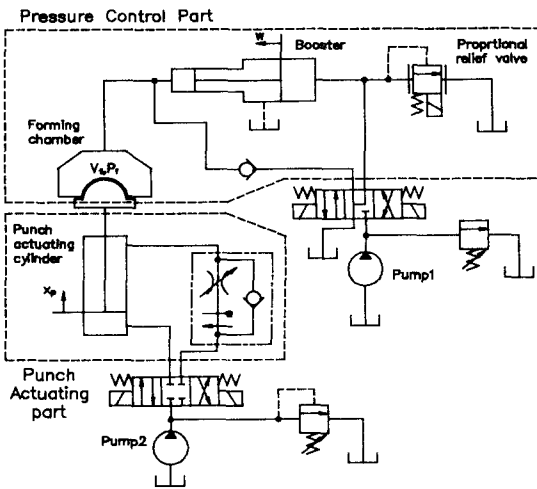


Fig.1 Hydraulic circuit of the Hydroforming machine.

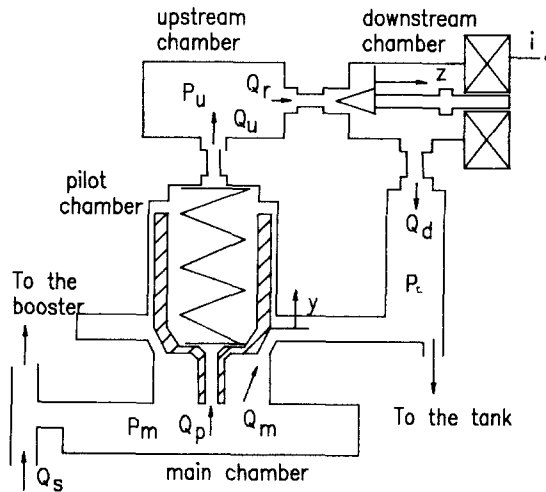


Fig.2 Schematic diagram of the proportional relief valve.

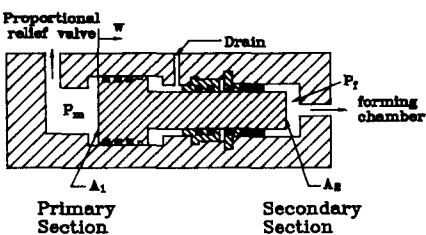


Fig.3 Schematic diagram of the booster.

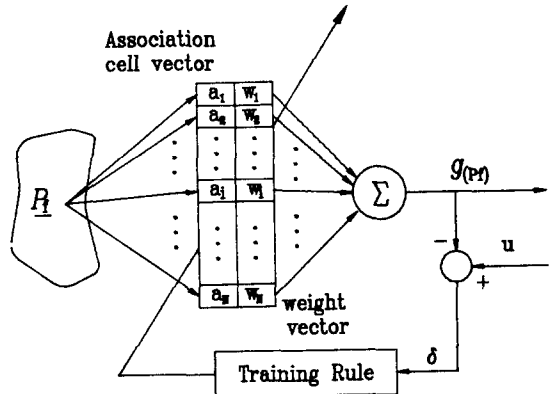


Fig.4 CMAC memory system for the pressure control of the Hydroforming processes.

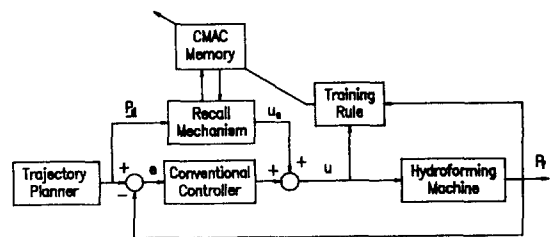


Fig.5 Block diagram of the proposed CMAC-based learning control.

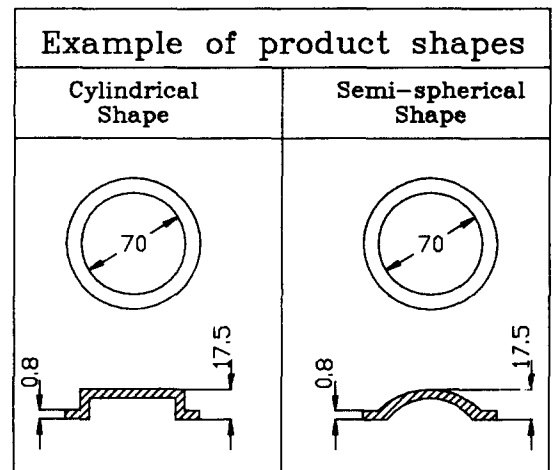


Fig.6 Two typical product shapes of Hydroforming processes.

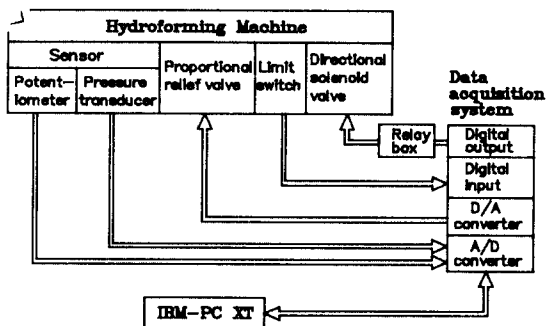


Fig.7 Schematic diagram of Experiment set.

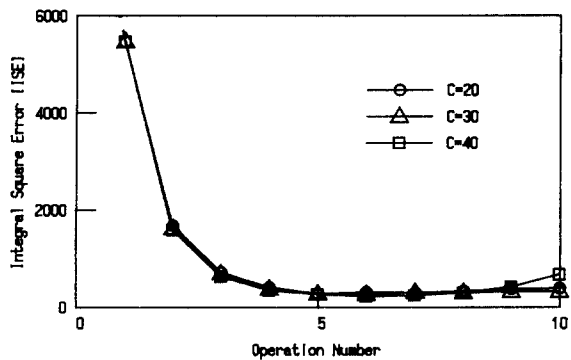


Fig.8 Effect of generalization (C) on convergency.

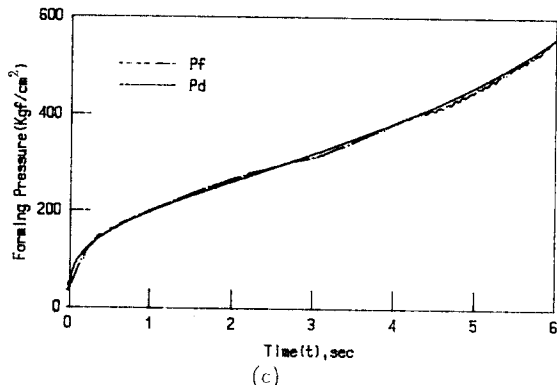
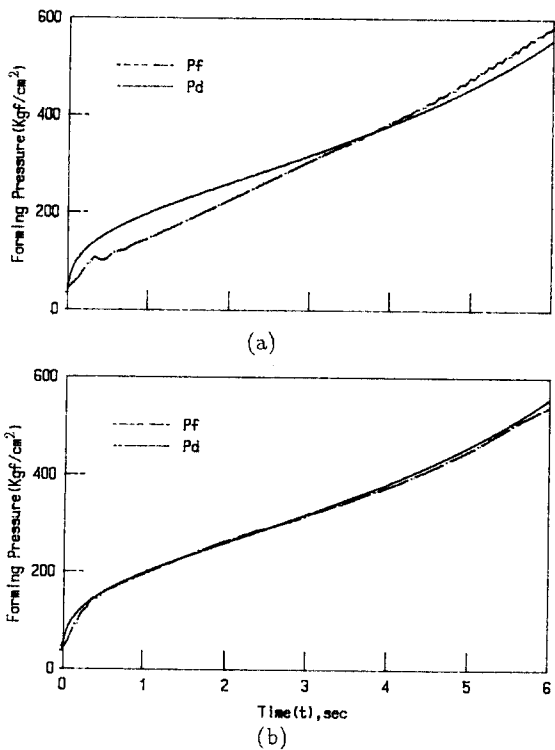


Fig.9 Experimental results of the CMAC-based learning controller. ($C = 30, k_c = 0.5$)

- (a) 1st operation.
- (b) 5th operation.
- (c) 10th operation.

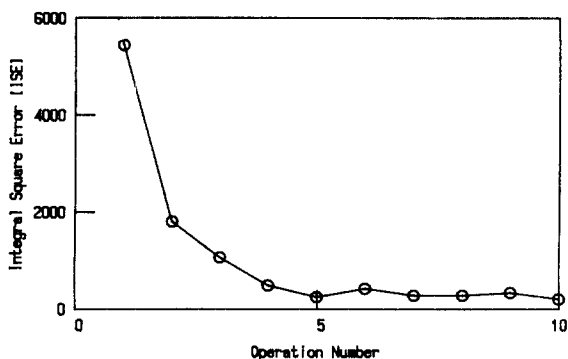


Fig.10 Convergency performance of the proposed control.

$$(C = 30, k_c = 0.5)$$

TABLE 1 System parameters

Parameter	Value	Dimension
M_m	0.123	Kg
M_z	0.004	Kg
M_b	24.80	Kg
K_m	2.110	Kgf/cm
F_0	4.120	Kgf
K_1	0.002	Kgf/mA
V_m	530.2	cm^3
V_p	5.790	cm^3
V_u	3.160	cm^3
V_d	2.370	cm^3
V_t	1537.	cm^3
A_{b1}	63.51	cm^2
A_{b2}	176.1	cm^2
Q_s	1288.	cm^3/sec
α	9.2	degrees
γ	19.5	degrees
ζ_m	0.60	-
ζ_p	0.866	-
ζ_u	0.42	-
ζ_d	0.780	-
β	6800	Kgf/cm^2